

4. Kern- und Nukleonstruktur

Streuexperimente und ihre Interpretation sind Schlüssel zur Struktur von Kernen und Nukleonen (Protonen).

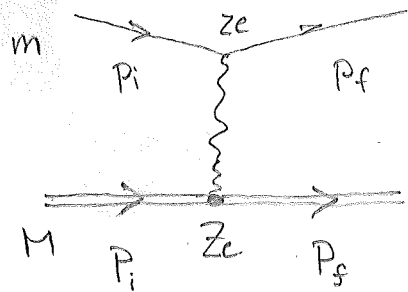
4.1 "Rutherford - Streuung" an punktförmiger Ladungsverteilung

H. Geiger et al., 1909-1913: s. Fig. 4.1

Frage: Warum hat Rutherford geschlossen, daß Kerne „punktlf.“ sind?
Was würde man für ausgedehnte Kerne beobachten?

a) Theoretische Behandlung:

Elastische Streuung eines leichten „spinlosen“ Teilchens mit Ladung ze an einem schweren (ruhenden) „spinlosen“ Stoßzentrum mit Ze :



Übergangsamplitude:

$$\mathcal{A}_{fi} = \frac{zeZe}{q^2} \cdot \frac{(\hbar c)^2}{c^2} \quad (\text{s. Kap. 2})$$

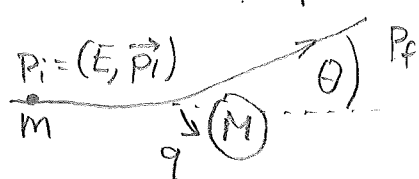
$$\left[\text{bzw } |\mathcal{A}_{fi}|^2 = \left(\frac{zeZe}{q^2} \right)^2 (4\pi)^2 \frac{(\hbar c)^6}{c^4} \right]$$

(Wertiefachig gegenüber e^+e^- : kein Spins!)

Mit der Wirkungsquerschnittsformel aus Kap 2.3b:

$$\frac{d\sigma}{d\Omega_f} = \frac{1}{(2\pi)^2} \cdot \frac{1}{(\hbar c)^4} \cdot \frac{p_f^2 c^2}{\beta_i \beta_f} \underbrace{\left\{ \left(\frac{zeZe}{q^2} \right)^2 (4\pi)^2 \frac{(\hbar c)^6}{c^4} \right\}}_{|\mathcal{A}_{fi}|^2}$$

Kinematik: q^2 für elastische Streuung



$$q^2 = (p_i - p_f)^2 = (E_i - E_f)^2 - (\vec{p}_i - \vec{p}_f)^2$$

$$= -(\vec{p}_i - \vec{p}_f)^2 = -\vec{q}^2 < 0 \quad (!)$$

für $M \gg m$

Rückschlag vernachlässigbar

$$E_i = E_f$$

$$|\vec{p}_i| = |\vec{p}_f|, \beta_i = \beta_f$$

$$= -2 |\vec{p}_f|^2 (1 - \cos\theta) \quad] \text{ s.u.*}$$

$$= -4 |\vec{p}_f|^2 \sin^2 \frac{\theta}{2} \quad]$$

bzw: $|\vec{q}| = 2 |\vec{p}_f| \sin \frac{\theta}{2} \quad \sqrt{(x) \cos 2x} = \cos^2 x - \sin^2 x$

mit $\beta_i = \beta_f$ folgt für $d\sigma/d\Omega$:

$$\frac{d\sigma}{d\Omega} = \frac{4 p_f^2 c^2}{\beta_f^2} \cdot \left(\frac{2Z\alpha}{q^2}\right)^2 \frac{(\hbar c)^2}{c^4} \sim \frac{1}{q^4}$$

(Photon-Propagator)

$$= \frac{2Z^2 \alpha^2}{4|\vec{p}_f|^2 \beta_f^2} \cdot \frac{1}{\sin^4 \frac{\theta}{2}} \cdot \frac{(\hbar c)^2}{c^2} \sim \frac{1}{\sin^4 \frac{\theta}{2}}$$

$$\begin{aligned} E_{kin} &= \frac{1}{2} \cdot p_f \cdot c = \frac{1}{2} \beta_f \cdot c \\ \Rightarrow E_{kin} &= |\vec{p}_f| \beta_f \cdot c \end{aligned} \quad \Rightarrow \quad = \frac{2Z^2 \alpha^2}{16 E_{kin}^2 \cdot \sin^4 \frac{\theta}{2}} \cdot (\hbar c)^2$$

- Bemerkungen:
- 1) endliche Wahrscheinlichkeit für Rückwärtsstrahlung
 - 2) für kleine Schwenkwinkel $\theta \rightarrow 0$ ($q \rightarrow 0$): $\frac{d\sigma}{d\Omega}$ steigt an
allerdings: max Stoßparameter \rightarrow mindest q (bzw. θ)
 - 3) Stoßpartner solange „pfiffig“ wie $\lambda = \frac{\hbar}{|q|} > R_{strahl}$

b.) Strahlung von Spin- $\frac{1}{2}$ Teilchen (z.B. e⁻) am Kern (Mott-Strahlung)

Bisher wurde Spin des streuenden Teilchens nicht berücksichtigt. Häufig werden Streuexperimente mit Elektronen (Spin $\frac{1}{2}$) durchgeführt.

Für hochrelativ. Teilchen ($\beta \rightarrow 1$) ist die Helizität = Projektion des Spins auf Impulsrichtung, eine Erhaltungsgröße.

→ Drehimpuls- und Helizitätsübertragung unterdrückt Rückwärtsstrahlung:

$$\left(\frac{d\sigma}{d\Omega}\right)_{\text{Spin}} = \left(\frac{d\sigma}{d\Omega}\right)_{\text{ohne Spin}} \cdot \cos^2 \frac{\theta}{2}$$

Für den Fall $\beta < 1$ ist die Spinausrichtung (Helizität) keine erhaltene Observable. Man erhält dann für den diff WQ:

$$\left(\frac{d\sigma}{d\Omega}\right)_{\text{Mott}} = \left(\frac{d\sigma}{d\Omega}\right)_{\text{Rutherford}} \cdot \left(1 - \beta^2 \cdot \sin^2 \frac{\theta}{2}\right)$$

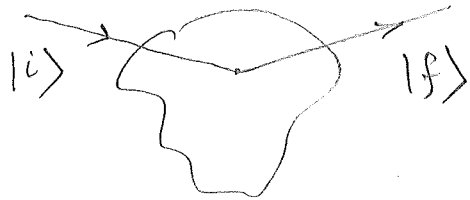
Mott-Strahlung beschreibt Strahlung pfif. spin $\frac{1}{2}$ Teilchen an pfif. Spin 0 Target.

c.) Nachtrag : Feynman-Propagator $\frac{1}{q^2}$ und WW-Potential

Der Propagator $\frac{1}{q^2}$ wurde in der Vorlesung ad-hoc und ohne Begriff auf das WW-Potential eingeführt. In der Tat existiert aber ein tiefes Zusammenhang der im Folgenden erläutert wird.

↳ s. Slides :

Streuung an stationärem sphärisch symmetrischen Potential



$$V(\vec{r}) = V(r)$$

Born'sche Näherung:

Ein- und auslaufende Wellen werden als ebene Wellen des freien Feldes beschrieben.

$$\Psi_{i,f} = \frac{1}{\sqrt{V}} \cdot \exp\left(\frac{i}{\hbar} (\vec{p}_{i,f} \cdot \vec{r} - E_i t)\right)$$

Übergangsausplitude: $A_{fi} = \langle f | V(r) | i \rangle =$

$$= \frac{1}{V} \cdot \iint_{t \in \mathbb{R}} \exp\left(-\frac{i}{\hbar} (\vec{p}_f \cdot \vec{r} - E_f t)\right) V(r) \cdot \exp\left(\frac{i}{\hbar} (\vec{p}_i \cdot \vec{r} - E_i t)\right) d\vec{r} dt$$

Zeitintegration bringt Energiesatz: $\delta(E_f - E_i)$.

$$A_{fi} \sim \int V(r) \exp\left(\underbrace{\frac{i}{\hbar} (\vec{p}_i \cdot \vec{r} - \vec{p}_f \cdot \vec{r})}_{\vec{q} \cdot \vec{r}}\right) d\vec{r}$$

$$\sim \int V(r) \exp\left(\frac{i}{\hbar} \vec{q} \cdot \vec{r}\right) d\vec{r}$$

= Fourier-Transformierte des Potentials im Impulsraum.

Für $V(r) = \frac{C}{r}$ findet man $A_{fi}(\vec{q}^2) \sim \frac{C}{\vec{q}^2} \Rightarrow$ Propagator
d.h. $\frac{1}{q^2}$ -Propagator = Fourier Transformierte des $\frac{1}{r}$ -Potentials.

Interventius Potential:

$$V(r) = \frac{C}{r} \cdot e^{-r/a} \rightarrow A_{fi}(\vec{q}^2) = \frac{C}{\vec{q}^2 + (\hbar/a)^2}$$

4.2 Streuung an ausgedehnten Ladungsverteilungen und Kernstruktur

a) Streuung an ausgedehnter Ladungsverteilung $\rho(\vec{r})$

$$\Rightarrow V(\vec{r}) = \frac{e}{4\pi} \cdot \int \frac{\rho(\vec{r}')}{|\vec{r} - \vec{r}'|} d\vec{r}'$$

Erinnerung:
Elekt. Potential $\phi(\vec{r})$
 $V(\vec{r}) = e\phi(\vec{r})$
 $\Delta\phi(\vec{r}) = -\rho(\vec{r})$

Mit elekt. Potential $\phi(\vec{r})$ und Green'schem Theorem für skalare Felder u, v :

$$\int (u \Delta v - v \Delta u) d\vec{r} = 0$$

sowie $\Delta e^{i\vec{q}\vec{r}} = i^2 \vec{q}^2 e^{i\vec{q}\vec{r}}$ folgt:

$$\begin{aligned} A_{fi} &= \int V(\vec{r}) e^{i/\hbar \vec{q}\vec{r}} d\vec{r} && \left[\int \phi(\vec{r}) (-\vec{q}^2 e^{i\vec{q}\vec{r}}) d\vec{r} \right. \\ &= -\frac{e\hbar^2}{\vec{q}^2} \cdot \int \Delta\phi(\vec{r}) e^{i/\hbar \vec{q}\vec{r}} d\vec{r} && \left. \int \Delta\phi(\vec{r}) \cdot e^{i\vec{q}\vec{r}} \right] \\ &= +\frac{e}{\vec{q}^2} \cdot \hbar^2 \cdot \int \rho(\vec{r}) e^{i/\hbar \vec{q}\vec{r}} d\vec{r} && \left\{ \begin{array}{l} \text{mit } \rho(\vec{r}) = e f(\vec{r}) \\ \text{und } \int f(\vec{r}) d\vec{r} = 1 \end{array} \right. \\ &= \frac{e^2}{\vec{q}^2} \cdot \hbar^2 \int f(\vec{r}) e^{i/\hbar \vec{q}\vec{r}} d\vec{r} && = \frac{e^2 \hbar^2}{\vec{q}^2} \cdot F(\vec{q}^2) \\ &= \frac{e^2 \hbar^2}{\vec{q}^2} \cdot F(\vec{q}^2) && \text{mit } F(\vec{q}^2) = \text{FourierTr. der auf} \\ &&& \text{1 normierte Ladungsdichte } f(\vec{r}) \\ &&& = \underline{\text{Formfaktor}} \end{aligned}$$

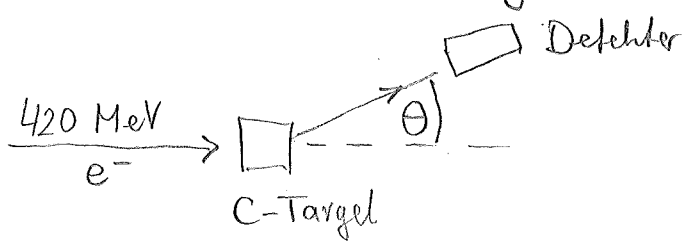
d.h. für den WQ der Streuung ein ph. Träger an einer ausgedehnten Ladungsverteilung $\rho(\vec{r})$ erhält man:

$$\left(\frac{d\sigma}{d\Omega} \right) = \left(\frac{d\sigma}{d\Omega} \right)_{\text{phff.}} \cdot |F(\vec{q}^2)|^2$$

- Bemerkung : (1) $|F(\vec{q}^2)|^2 \leq 1$, d.h. WQ ist immer kleiner als ph. WQ
 (2) bei kleinen $\vec{q}^2 \rightarrow$ ausgetauschte Photonen hat große Wellenlänge : $|F(\vec{q}^2)|^2 \rightarrow 1$

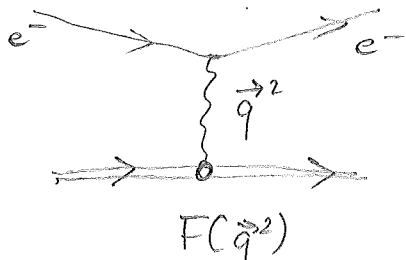
b) Elektron-Kern-Scatzung

4-5



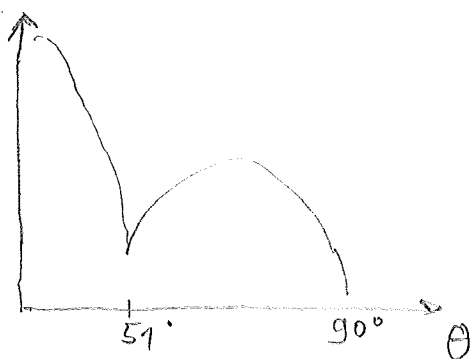
Hofstadter 1957

Stanford 500 MeV Linear beschl.
s.a. Fig. 4.2 4.3



$$\left(\frac{d\sigma}{d\Omega}\right)_{\text{exp}} = \left(\frac{d\sigma}{d\Omega}\right)_{\text{noth}} \cdot |F(\vec{q}^2)|^2$$

$$\frac{d\sigma}{d\Omega}$$



Aus $\left(\frac{d\sigma}{d\Omega}\right)_{\text{exp}}$ lässt sich $|F(\vec{q}^2)|^2$ bestimmen.
Ein einfache Rücktransf. zu Ladungswertigk. dr.
Ladungswertigk. ist aber nicht möglich:

- (1) $F(\vec{q}^2)^2$ nicht für alle \vec{q}^2 gemessen
(für ausgedehnte Kern fällt $|F(\vec{q}^2)|^2$ für große \vec{q}^2 stark ab → schwer zu messen)
- (2) Man braucht auch die Phase!

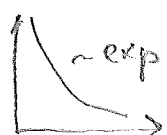
Stahlbrennen: Modellansätze zur Beschreibung der Ladungswertigk.
Fourier Tr. der Modellansätze wird an Daten angepasst

Beispiele: (Fig. 4.4 & Fig. 4.5)

Ladungswertigk. $f(r)$



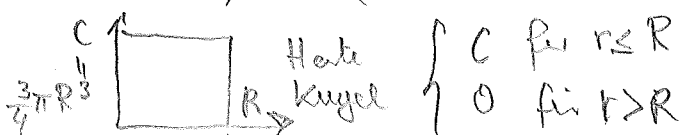
$$\frac{\delta(r)}{4\pi}$$



$$\left(\frac{a^3}{8\pi}\right) \exp(-ar)$$



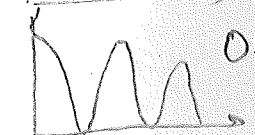
$$\left(\frac{a^2}{2\pi}\right)^{1/2} \exp\left(-\frac{a^2 r^2}{2}\right)$$



Formfaktor $F(\vec{q}^2)$



$$\text{konst} = 1$$



$$\exp\left(-\frac{\vec{q}^2}{2a^2 h^2}\right)$$

$$\alpha = \frac{b_1}{h} / R/h$$

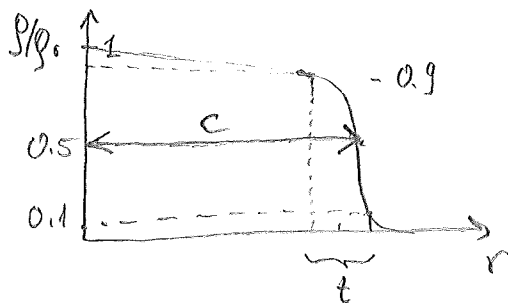
c) Ladungsdichte von Kernen:

Generelle Schwierigkeit:

Je größer die Ausdehnung der Ladungsdichte, desto stärker fällt $|F(\vec{q}^2)|^2$ für große Winkel (große \vec{q}^2) ab ... sehr eindrücklicher Effekt ausgedehnter Kerne.

Für eine Vielzahl von Kernen wurde die Ladungsdichte bestimmt:

Kerne werden gut durch "Fermi-Dichte" beschrieben (s. Fig. 4.6):



Radiale Ladungsdichte:

$$g(r) = \frac{g_0}{1 + e^{(r-c)/a}}$$

\Rightarrow "weicher Rand"

$$c = \text{Halbdichte-Radius} \approx (1.18 A^{1/3} - 0.48) \text{ fm}$$

$$t = \text{Oberflächendicke (90\% - 10\%)} = 4 \ln 3 \cdot a = 4.4 a \approx 2.4 \text{ fm}$$

$$a \approx 0.545 \text{ fm}$$

Mit $\langle r^2 \rangle = \int r^2 g(r) dr = \int 4\pi r^4 g(r) dr$ folgt:

$$\sqrt{\langle r^2 \rangle} \approx 0.94 \cdot A^{1/3} \text{ fm}$$

Off wird der Kern als näherungsweise durch Kugel mit "hartem Rand" beschrieben für die $\langle r^2 \rangle$ gegeben ist durch:

$$\langle r^2 \rangle_{\text{hart}} = \int_0^R r^2 g(r) dr = \underbrace{4\pi}_{\substack{\text{Dichte} \\ \text{homogene Kugel}}} \frac{3}{4\pi R^3} \cdot \int_0^R r^4 dr = \frac{3}{5} R^2$$

$$\text{für } \langle r^2 \rangle_{\text{hart}} : (0.94 \cdot A^{1/3} \text{ fm})^2 \Rightarrow R_{\text{hart}} = \frac{5}{3} \cdot 0.94 A^{1/3} \text{ fm} = 1.2 A^{1/3} \text{ fm}$$

Erwartungswert der harten Kugel soll gerade $\langle r^2 \rangle$ für reale Kerne mit weichem Rand entsprechen.

Bem: Für Nukleondichte von Kernen findet man:

$$\rho_N = 0.17 \text{ Nukleone/fm}^3$$